



# 用于低频振荡器的维恩电桥的分析\*

黄志洵

1891年，维恩（M. C. Wien）提出了一种用作电容比较的电桥电路<sup>[1]</sup>。它的基本构成元件是串联阻容( $R_1, C_1$ )和并联阻容( $R_2, C_2$ )组成的 $\Gamma$ 形网络。频率很小时( $f \rightarrow 0$ )， $C_2$ 的电抗很大，因而 $C_2$ 可略去不计；这时， $C_1$ 造成输出电压超前于输入电压。频率逐渐升高，超前角逐步减小。另一方面，频率很高时( $f \rightarrow \infty$ )， $C_1$ 的电抗很小，因而 $C_1$ 可略去不计；这时输出电压落后于输入电压。频率逐渐降低，落后角逐步减小。在某个频率 $f_0$ ， $\Gamma$ 形网络的相移为零。这样的电路被称为“维恩电桥”，我国习惯上译为“文氏电桥”。

根据维恩桥的零相移特性，显然可用于测频技术，并可用于滤波器、选频放大器、振荡器等处。又可在气体热导率测量中作频率响应分析<sup>[2]</sup>，在真空测量技术中作定温电阻真空计<sup>[3]</sup>，等等。

1939年，特曼（Terman）等论述了双支路电桥（除 $\Gamma$ 形网络外还包含一个纯电容性负反馈支路 $R_3, R_4$ ）用于低频振荡器的方法<sup>[4]</sup>，第一次提出用白炽灯泡（作 $R_4$ ）改善振荡器的频率稳定度、振幅稳定度、失真度等项指标。但是，文献[4]以及后来出现的某些资料，论述不够清楚，也缺乏工程计算所需要的较完善的理论公式。

本文对包含 $R_3, R_4$ ，用于低频振荡器的维恩桥的性质，作了一些基本的数学分析和计算；对从事仪器设计的同志，可能有一些帮助。

## 一、基本概念

维恩电桥的基本部分，包含6个元件，即图1中的

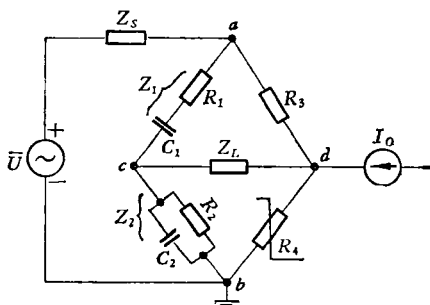


图1 维恩电桥的基本部分

$R_1, C_1, R_2, C_2, R_3, R_4, \bar{U}$ 是输入到电桥的信号源电压； $Z_s$ 是信号源阻抗； $Z_L$ 是电桥输出端的负载阻抗； $I_0$ 代表实际上可能存在的一一个直流电流源； $R_4$ 的特殊符号表示它可能是一个非线性电阻。

图1的表示是完整的，但为了分析和处理方便起见，有必要把图1稍作简化。

首先，规定 $z_L = \infty$ ，即cd两点间开路。这对于电子管维恩电桥振荡器、场效应晶体管维恩电桥振荡器而言，是符合实际的。

其次，近似地取 $Z_s = 0, I_0 = 0, R_4 = \text{常数}$ 。这些假定虽与实际情况有出入，但为了更好地揭示出文氏电桥的某些重要规律，仍不妨先作这样的假定。

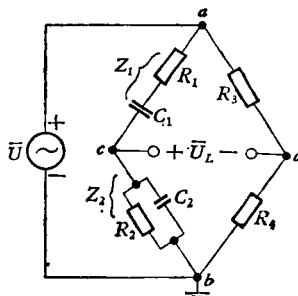


图2 维恩电桥

因此，我们将处理图2的维恩电桥。为方便起见，规定几个符号：

$$m = \frac{R_1}{R_2},$$

$$n = \frac{C_2}{C_1},$$

$$\beta_{(-)} = \frac{R_4}{R_3 + R_4}.$$

如果把图2的电路改画为图3形态的等效电路，在 $\bar{U}$ 一定时可得到相同的 $\bar{U}_L$ 。由图3可见，当

$$\omega = \omega_0 = \frac{1}{\sqrt{LC_1}},$$

等效电感 $L$ 与电容 $C_1$ 发生串联谐振，流过acb支路的电流最大，因而 $|\bar{U}_{cb}|$ 最大。同时，整个电路成为纯电

\* 1973年4月7日收到。

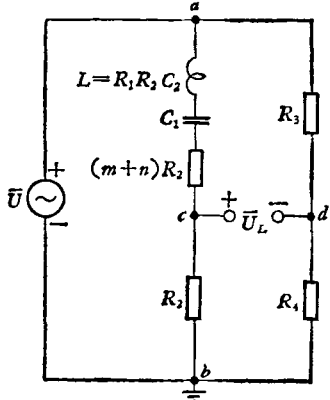


图 3 等效电路

阻性质的惠斯顿桥(Wheatstone bridge),  $\bar{U}_L$  与  $\bar{U}$  之间没有相移。因此,  $\omega_0$  称为“零相移频率”。很容易证明:

$$\omega_0 = \frac{1}{\sqrt{R_1 R_2 C_1 C_2}} = \frac{\sqrt{mn}}{R_1 C_2} = \frac{1}{\sqrt{mn} R_2 C_1}. \quad (1)$$

规定:

$$y = \frac{\omega}{\omega_0},$$

$y$  称为“相对失谐”;以后,电桥的一系列特性,可表为  $y$  的函数。

输出电压  $\bar{U}_L$  可以写成为:

$$\bar{U}_L = \bar{U}_{cb} - \bar{U}_{db} = \bar{U}_{cb} + (-\bar{U}_{db}).$$

用矢量图(图 4)可看清  $U_L$  与  $y$  的关系。当  $y = 1$ ,  $U_L$  并不是最大,而是最小。

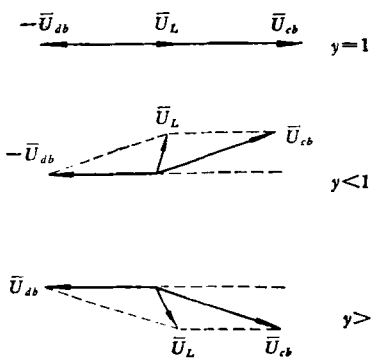


图 4 矢量图

显然,  $y = 1$  只是电桥的“零相移条件”,而不是电桥的“平衡条件”。当  $U_L = 0$ , 电桥达到平衡。为此,首先要满足  $y = 1$ , 其次还要满足:

$$(m+n)R_2R_4 = R_2R_3,$$

亦即

$$\frac{R_3}{R_4} = m + n;$$

因而,用图 3 很快地得出了电桥的平衡条件。然而,必须注意的是:等效电路的使用,是有一定限制的,不能

用它去求电桥的一切参量。

用于低频振荡器的维恩电桥,工作在  $y = 1$ ,  $\frac{R_3}{R_4} \neq m + n$  的条件下;故  $U_L \neq 0$ ,而只是达到最小值  $U_{L0}$ .

## 二、电压传输系数

根据图 2,可以证明:

$$\bar{\beta} = \frac{\bar{U}_L}{\bar{U}} = \frac{\frac{R_3}{R_4} - \frac{Z_1}{Z_2}}{1 + \frac{Z_1}{Z_2}} \beta_{(-)}.$$

然而

$$\frac{Z_1}{Z_2} = (m+n) + j\sqrt{mn} \left( y - \frac{1}{y} \right),$$

故得

$$\bar{\beta} = \frac{\frac{R_3}{R_4} - (m+n) + j\sqrt{mn} \left( \frac{1}{y} - y \right)}{(1+m+n) - j\sqrt{mn} \left( \frac{1}{y} - y \right)}.$$

由上式可得电压传输系数的模:

$$\beta = \sqrt{\beta_{(-)}^2 - \frac{2\beta_{(-)}(1+m+n)-1}{(1+m+n)^2 + mn \left( \frac{1}{y} - y \right)^2}}. \quad (2)$$

这是一个方便的公式;它提供的函数图象见图 5。

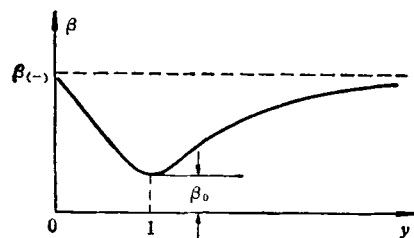


图 5 函数  $\beta(y)$  图象

根据(2)式可知,若

$$\beta_{(-)} = \frac{1}{2(1+m+n)},$$

则有  $\beta = \beta_{(-)}$ ;这时,  $\beta$  与  $y$  无关,不具备频率选择性。因此实际上须取

$$\beta_{(-)} > \frac{1}{2(1+m+n)}. \quad (3)$$

另一方面,获得最佳频率选择性(即  $\beta \sim y$  曲线最尖锐)的条件是:

$$\beta_{(-)} = \frac{1}{1+m+n}.$$

这时有:

$$\beta = \frac{\eta \left( \frac{1}{y} - y \right)}{\sqrt{1 + q^2 \left( \frac{1}{y} - y \right)^2}}, \quad (4)$$

式中

$$q = \frac{\sqrt{mn}}{1 + m + n}, \quad (5)$$

$$\eta = \frac{\sqrt{mn}}{(1 + m + n)^2}. \quad (6)$$

后面将证明, 当  $m = n = 0.5$ ,  $\eta$  最大 (比  $m = n = 1$  时大)。图 6 是改变  $m$ 、 $n$  值而进行计算得到的结果。

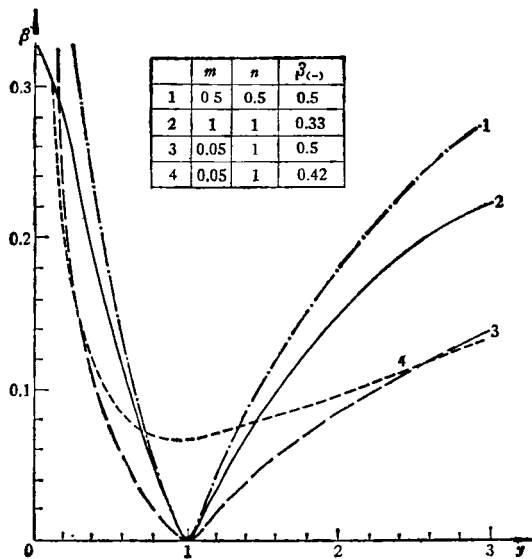


图 6 改变  $m$ 、 $n$  值而得到的函数  $\beta(y)$  图象

众所周知, 象维恩电桥、双 T 电桥这样的网络, 可以用在选频放大器中, 也可以用在振荡器中。根据不同的用途, 设计考虑方法也不能绝对相同。例如, 用作振荡器的维恩电桥, 有一个重要的特点, 即  $y = 1$  ( $\omega = \omega_0$ ) 时要有输出电压。命  $\beta_0$  为  $\omega = \omega_0$  时的电压传输系数:

$$\beta_0 = \frac{U_{L0}}{U} = \frac{\frac{R_3}{R_4} - (m + n)}{1 + m + n} \beta_{(-)}.$$

根据上式可得:

$$\frac{R_3}{R_4} = \frac{1 + m + n}{1 - (1 + m + n) \frac{U_{L0}}{U}} - 1. \quad (7)$$

表 1  $R_3/R_4$  比值表

$U_{L0}$ (mV)	0	10	100	200
$\frac{U_{L0}}{U}$	0	$10^{-3}$	$10^{-2}$	$2 \times 10^{-2}$

$\frac{R_3}{R_4}$	$m = 1$ $n = 1$	$m = 0.05$ $n = 1$
2	2.01	2.1
1.05	1.06	1.09
2.2		1.14

利用这个公式, 可以在给定  $U_{L0}$ 、 $U$ 、 $m$ 、 $n$  的情况下, 算出必需的  $\frac{R_3}{R_4}$  比值。例如, 取  $U = 10V$ , 则可列出一个表 (表 1)。

由表 1 可知,  $\frac{R_3}{R_4}$  比  $(m + n)$  大得越多, 电桥离开平衡越远。

### 三、相 移

电压传输系数可写成:

$$\bar{\beta} = \beta \Phi_\beta.$$

式中  $\Phi_\beta$  代表电桥输出电压相对于输入电压的相位移。不难证明:

$$\Phi_\beta = \operatorname{tg}^{-1} \left\{ \frac{q \left( \frac{1}{y} - y \right)}{1 - \beta_{(-)} (1 + m + n) \left[ 1 + q^2 \left( \frac{1}{y} - y \right)^2 \right]} \right\}. \quad (8)$$

当  $y$  很小时,  $\operatorname{tg}^{-1} x \approx x$ ; 故可取  $y \approx 1$  的  $\Phi_\beta$  表达式为:

$$\Phi_\beta \approx \frac{q \left( \frac{1}{y} - y \right)}{1 - \beta_{(-)} (1 + m + n) \left[ 1 + q^2 \left( \frac{1}{y} - y \right)^2 \right]}. \quad (9)$$

为了改善振荡器的频率稳定性, 要求提高  $y = 1$  处  $\Phi_\beta \sim y$  特性曲线的斜率。可以证明:

$$\left[ \frac{\partial \Phi_\beta}{\partial y} \right]_{y=1} \approx \frac{2q}{\beta_{(-)} (1 + m + n) - 1}. \quad (10)$$

由于用作振荡器的维恩电桥工作在下述状态:

$$\beta_{(-)} \gtrsim \frac{1}{1 + m + n}. \quad (11)$$

因此相位特性在  $y = 1$  处的斜率是负值。

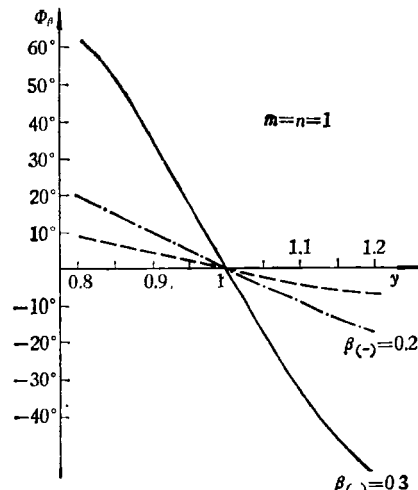


图 7  $\Phi_\beta-y$  图

在满足不等式(11)时,  $\beta_{(-)}$ 越大, 斜率越大。图7是计算结果, 虚线是不存在  $R_3$ 、 $R_4$  的情况 [也就是惠尔(Whale)按单路  $\Gamma$  形网络分析的情况<sup>[1]</sup>]。显然可见,  $R_3$ 、 $R_4$  的引入, 改善了电桥的性能。此外,  $\beta_{(-)}$ 越接近  $(1+m+n)^{-1}$ , 效果越好, 因为可以弥补  $m$ 、 $n$  选择不当而带来的缺点(图8)。

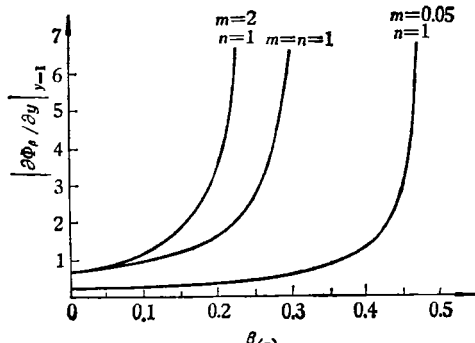


图 8  $|\frac{\partial\Phi_\beta}{\partial y}|_{y=1} - \beta$  图

#### 四、质量因数

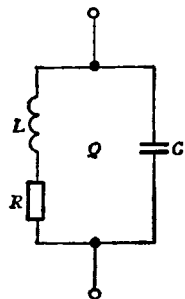


图 9 并联谐振电路

图9所示的并联谐振电路, 如果以一恒流源给它馈电, 则输入电流与回路两端电压之间的相角差是:

$$\Phi = \operatorname{tg}^{-1} \left\{ \frac{\omega L(1 - \omega^2 LC) - \omega CR^2}{R} \right\}.$$

令  $\omega_0^2 = \frac{1}{LC}$ ,  $y = \frac{\omega}{\omega_0}$ ,  $Q = \frac{\omega_0 L}{R}$ , 可得:

$$\Phi = \operatorname{tg}^{-1} \left\{ Q(1 - y^2) - \frac{y}{Q} \right\}.$$

当  $\Phi$  比较小时, 有

$$\Phi \approx \left\{ yQ(1 - y^2) - \frac{y}{Q} \right\}.$$

如果  $Q$  比较大, 就有

$$\left[ \frac{\partial\Phi}{\partial y} \right]_{y=1} \approx -2Q,$$

故可定义质量因数为<sup>[1]</sup>:

$$Q = \frac{1}{2} \left| \left[ \frac{\partial\Phi}{\partial y} \right]_{y=1} \right|.$$

可见, 相位特性曲线斜率越陡,  $Q$  越大。

对维恩电桥而言, 如果取

$$Q = \frac{1}{2} \left| \left[ \frac{\partial\Phi_+}{\partial y} \right]_{y=1} \right|, \quad (12)$$

式中  $\Phi_+$  是仅考虑  $R_1C_1R_2C_2$  支路(没有  $R_3$ 、 $R_4$ )时,  $\Gamma$  形网络的相移。这时, 根据本文的符号有:

$$Q = q = \frac{\sqrt{mn}}{1 + m + n}. \quad (13)$$

因此, 当  $m = n = 1$ ,  $Q = \frac{1}{3} = 0.33$ ; 当  $m = n = 0.5$ ,  $Q = \frac{1}{4} = 0.25$ 。可见, 这样定义时  $Q$  值很小。这可能正是人们没有对  $RC$  电路的质量因数给予重视的原因之一。

按(12)式来定义  $Q$  值固然是没有问题的。但是, 能不能根据图2的完整维恩电桥(包含  $R_3$ 、 $R_4$ )来定义  $Q$  值呢? 如果取

$$Q = \frac{1}{2} \left| \left[ \frac{\partial\Phi_\beta}{\partial y} \right]_{y=1} \right|, \quad (14)$$

就得到

$$Q = \frac{q}{1 - \beta_{(-)}(1 + m + n)}. \quad (15)$$

绘出  $Q \sim \beta_{(-)}$  函数图象, 得图10。据此, 可作如下讨论:

1. 当  $\beta_{(-)} = (1 + m + n)^{-1}$ ,  $Q \rightarrow \infty$ ; 这与前面所述“ $\beta \sim y$  曲线变尖锐”是符合的。
2. 只要  $0 < \beta_{(-)} < (1 + m + n)^{-1}$ , 就有  $Q > q$ ; 这结果能很好地解释  $R_3$ 、 $R_4$  支路的存在, 对于提高维恩电桥质量有重大作用。

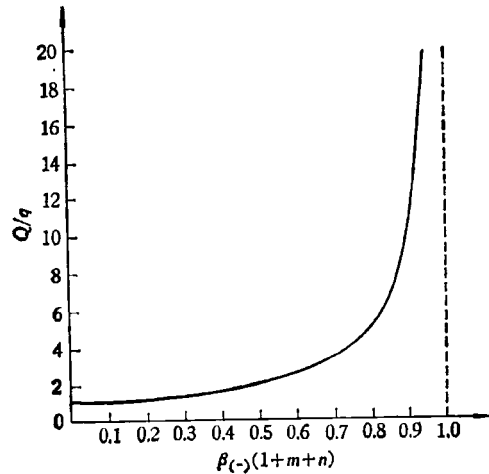


图 10  $Q \sim \beta_{(-)}$  函数图象

3. 当  $\beta_{(-)} = \frac{1}{2} (1 + m + n)^{-1}$ , 按公式

(2),  $\beta$  与  $y$  无关; 按公式 (15),  $Q = 2\eta$ . “不具备频率选择性”与“有  $Q$  值”在概念上矛盾!

4. 当  $m = n = 1$ , 或  $m = n = 0.5$ , 由 (15) 式都得到  $Q \rightarrow \infty$ , 看不出区别. 实际上是有区别的, 见图 6. 这是 (15) 式的又一缺点!

在以上讨论中, 两条符合实际, 两条有矛盾. 那么, 对于图 2 的维恩电桥, 究竟能否按 (14) 式定义  $Q$  值呢? 就成为一个问题.

产生问题的原因首先在于: 图 2 的  $\beta \sim y$  曲线, 形状是下凹的, 见图 6. 然而,  $LC$  回路的谐振曲线, 形状是上凸的. 因此, 严格说来只能根据  $\beta_{(+)} \sim y$  曲线, 定义维恩桥的  $Q$  值, 即 (12) 式.

问题还在于: 前面的定义是由  $LC$  谐振电路出发的, 在推导过程中假定了  $Q \gg 1$ ; 然后, 又以这样的定义去处理  $Q \approx 1$  的问题.  $LC$  电路在低  $Q$  情况下是很复杂的, 例如谐振频率取决于电阻在两臂的分布. 所以, 上述定义方法是很粗糙的.

假定:

1.  $LC$  电路的损耗电阻全部集中在电感  $L$  里面, 其值为  $R$ .

2. 谐振的定义是电流、电压同相.

3. 质量因数的定义是  $Q = \frac{\omega_0 L}{R}$  ( $\omega_0$  为谐振角频率).

那么, 就可以证明:

$$\omega_0 = \sqrt{\frac{1}{LC} - \left(\frac{R}{L}\right)^2},$$

$$\left[ \frac{\partial \Phi}{\partial y} \right]_{y=1} = \frac{-2Q^3}{Q^2 + 1}.$$

命

$$\xi = \left[ \frac{\partial \Phi}{\partial y} \right]_{y=1},$$

则得

$$2Q^3 + \xi Q^2 + \xi = 0. \quad (16)$$

因此, 为得到  $Q$  就要解三次代数方程. 这样得出的结果较精确.

另一种处理方法是: 在  $5 \geq Q \geq 1$  (即  $10 \geq |\xi| \geq 1$ ) 的条件下, 有

$$\xi = 0.2(6 - 11Q),$$

即

$$Q = 0.545 - 0.455\xi. \quad (17)$$

这样处理的误差小于 2%.

根据以上分析, 就知道从定义式(14)出发, 为什么同时产生合理的与不合理的结果.

联立 (7) 式和 (15) 式, 可以证明:

$$Q = \eta \frac{U}{U_{L0}}. \quad (18)$$

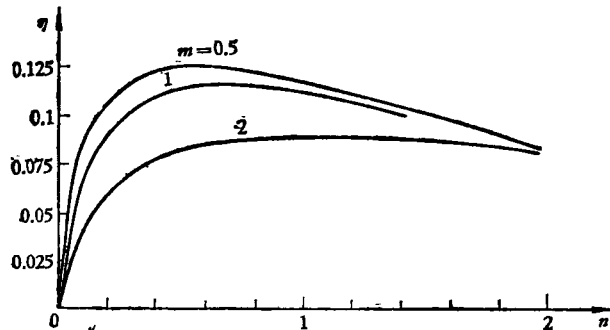


图 11  $\eta$  与  $m, n$  的关系

显然, 使  $U, U_{L0}$  一定, 那么使  $\eta$  最大的条件, 就是使  $Q$  最大的条件.

数值计算能使我们更清楚地看出维恩电桥的特性. 取  $m = n = 0.5$ , 得到最大的  $\eta$  值:

$$\eta = \eta_{\max} = 0.125.$$

另一方面, 取  $m = n = 1$ , 则得:

$$\eta = 0.88\eta_{\max} = 0.11$$

可见, “最大质量因数电桥”( $m = n = 0.5$ )并不是“对称电桥”( $R_1 = R_2, C_1 = C_2$ ).

图 11 给出  $\eta$  与  $m, n$  的关系.

## 五、电桥对振荡波形失真的影响

根据图 2, 规定符号:

$$\bar{\beta}_{(+)} = \frac{\bar{U}_{cb}}{\bar{U}} = \beta_{(+)} \Phi_+$$

并规定

$$\beta_{(+0)} = \beta_{(+)}|_{y=1} = \frac{1}{1 + m + n}, \quad (19)$$

则可证明:

$$\beta_{(+)} = \frac{\beta_{(+0)}}{\sqrt{1 + q^2 \left(\frac{1}{y} - 1\right)^2}}. \quad (20)$$

可以认为: 把电阻分压器支路 ( $R_3, R_4$ ) 和正反馈支路 ( $R_1, C_1, R_2, C_2$ ) 合在一起考虑电桥性能的方法, 比之于把  $R_3, R_4$  放到放大器里去考虑的方法, 前者具有明显的优点, 其中之一就是有了从理论估计振荡器失真的可能性<sup>[1]</sup>:

$$K_{f0} = HK_{fa},$$

式中  $K_{f0}$  是放大器的谐波失真,  $K_{fa}$  是振荡器的谐波失真.  $H$  是一个系数, 其值应小于 1, 它说明反馈使放大器失真减小的程度.

当总传输系数为  $\bar{\beta}$  的  $RC$  电桥与电压增益为  $\bar{K}$  的放大器相连时, 有

$$H = \frac{1}{|1 - \bar{K}\bar{\beta}|}.$$

我们希望  $H$  越小越好, 即  $|1 - K\bar{\beta}|$  越大越好。由于  
 $\bar{\beta} = \bar{\beta}_{(+)} - \beta_{(-)}$ ,  
故有

$$H = \frac{1}{|1 - K\bar{\beta}_{(+)} + K\beta_{(-)}|}.$$

从此式可知, 不能认为维恩电桥振荡器的波形失真与  $R_3, R_4$  无关。试验也证明是有很大关系, 而不是“无关”。

但是,  $\beta_{(-)}$  是根据  $y = 1 (\omega = \omega_0)$  的稳态振荡调好了的, 然后可以指定  $y = 2, 3$ , 看  $H$  值的情况。所以, 可根据稳态振荡条件

$$(K\beta)_{\omega_0} = 1,$$

而取

$$\beta_{(-)} = \beta_{(+)\circ} - \frac{1}{K_0}.$$

这时有

$$H = \frac{1}{K_0 |\beta_{(+)\circ} - \bar{\beta}_{(+)}|}.$$

在这个式子里  $\beta_{(-)}$  不出现。不过, 并不能据此而认为失真与  $R_3, R_4$  无关。

由于上式中  $\bar{\beta}_{(+)}$  是矢量, 所以

$$|\beta_{(+)\circ} - \bar{\beta}_{(+)}| \neq \beta_{(+)\circ} - \beta_{(+)}.$$

可以证明

$$|\beta_{(+)\circ} - \bar{\beta}_{(+)}| = \beta_{(+)\circ} \frac{q \left( \frac{1}{y} - y \right)}{\sqrt{1 + q^2 \left( \frac{1}{y} - y \right)^2}}. \quad (21)$$

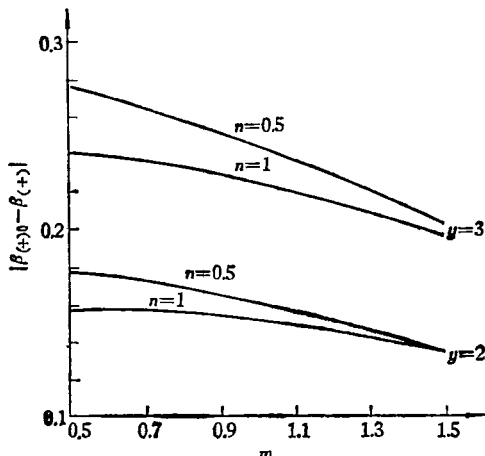


图 12  $|\beta_{(+)\circ} - \beta_{(+)}| \sim m$  关系

据此, 可以绘出我们计算得到的图象, 见图 12。可知: 在放大器一定 ( $K_0$  一定) 时, 为了减小振荡失真, 在设计电桥参数时应注意以下问题:

1.  $n$  值取 0.5 比取 1 好; 尤其对抑制 3 次谐波而言更是如此。

2.  $m$  值取 0.5 比取 1 好, 也是对抑制 3 次谐波而言较为明显。对 2 次谐波而言, 在取  $n = 1$  时抑制作用

用较差, 取  $n = 0.5$  则抑制作用较好。

另外, 可以看到一种情况。根据

$$K_0 |\beta_{(+)\circ} - \bar{\beta}_{(+)}| = \frac{1}{H}.$$

如要求  $H < 1$ , 必须

$$K_0 > \frac{1}{|\beta_{(+)\circ} - \bar{\beta}_{(+)}|}. \quad (22)$$

由图 12 知, 一般  $|\beta_{(+)\circ} - \bar{\beta}_{(+)}| < 0.3$ , 故要求  $K_0 > 3$ 。实际上,  $K_0$  可以比 3 大得多, 故振荡器失真一定小于放大器失真。

当然, 对于不同用途的振荡器, 要求的失真度不同。作正弦信号发生器时, 失真越小越好。今天优良的振荡器失真度低达 0.01%。另一方面, 对于象定温电阻真空计那样的振荡器, 失真度要求大大降低, 只要在 10% 以下就可以了。因此, 对前一种设计工作而言, 要求在理论概念上搞得更清楚。

## 六、电桥元件准确性的影响

很明显, 电桥元件的不精确和不稳定, 将造成电桥在大批生产中表现出性能不一致和工作状态不稳定。例如, 很容易证明:

$$\frac{d\omega_0}{\omega_0} = -\frac{1}{2} \left\{ \frac{dR_1}{R_1} + \frac{dR_2}{R_2} + \frac{dC_1}{C_1} + \frac{dC_2}{C_2} \right\}. \quad (23)$$

上式表明, 零相移频率的准确性和稳定性, 决定于  $R_1, R_2, C_1, C_2$  这四个元件的准确性和稳定性。例如, 每个元件误差为 1%, 频率误差就可能是 2%。

从维恩电桥振荡器的振幅稳定来看, 要求维恩电桥的电压传输系数稳定。但当  $R_1, R_2, C_1, C_2$  存在不准确或不稳定时,  $\beta_{(+)\circ}$  值将出现不准确或不稳定:

$$d\beta_{(+)\circ} = \frac{1}{(1 + m + n)^2} \left\{ m \left( \frac{dR_1}{R_1} - \frac{dR_2}{R_2} \right) + n \left( \frac{dC_1}{C_1} - \frac{dC_2}{C_2} \right) \right\}. \quad (24)$$

另外, 当  $R_3, R_4$  存在不准确或不稳定时,  $\beta_{(-)}$  将出现不准确或不稳定

$$d\beta_{(-)} = \frac{R_3/R_4}{(1 + R_3/R_4)^2} \left\{ \frac{dR_3}{R_3} - \frac{dR_4}{R_4} \right\}. \quad (25)$$

这样, 总的电压传输系数的不准确或不稳定, 可用下式来计算:

$$d\beta = d\beta_{(+)\circ} - d\beta_{(-)}, \quad (26)$$

下面, 讨论减少  $d\beta$  的方法。

1. 严格控制元件质量, 减小  $\frac{dR_1}{R_1}, \frac{dR_2}{R_2}, \frac{dC_1}{C_1}, \frac{dC_2}{C_2}, \frac{dR_3}{R_3}, \frac{dR_4}{R_4}$ ;

2. 使  $\frac{dR_1}{R_1}$  与  $\frac{dR_2}{R_2}, \frac{dC_1}{C_1}$  与  $\frac{dC_2}{C_2}, \frac{dR_3}{R_3}$  与  $\frac{dR_4}{R_4}$  (下转 320 页)

理解，要不要在辩证唯物主义指导之下，加以审查和重新认识和解释。这是一场侵袭和反侵袭，复辟和反复辟的斗争，这是捍卫无产阶级革命成果，保证无产阶级江山水不变色，保卫无产阶级专政斗争的组成部分。

列宁指出“为了坚持这个斗争，为了把它进行到底并取得完全胜利，自然科学家就应该做一个现代的唯物主义者，做一个以马克思为代表的唯物主义的自觉拥护者，也就是说应当做一个辩证唯物主义者。”（609页）毛主席根据马克思主义关于无产阶级专政的学说，总结了国际、国内革命斗争经验，提出了无产阶级专政下继续革命的理论，为我党制定了一条整个社会主义历史阶段的基本路线。毛主席还指出无产阶级必须在

上层建筑其中包括各个文化领域中对资产阶级实行全面的专政。最近又作了关于理论问题的重要指示。我们要认真学习毛主席最近这一重要指示，学习马克思、恩格斯、列宁关于无产阶级专政的论述，深刻认识社会主义社会阶级斗争的长期性、复杂性，不断地主动地向一切剥削阶级的意识形态发动进攻，用马列主义、毛泽东思想占领整个上层建筑其中包括各个文化领域。对自然科学理论中以各种面目出现的资产阶级、修正主义反动哲学观点、流派进行揭露和批判，用辩证唯物主义分析、认识自然科学中的各种问题，让辩证唯物主义占领整个自然科学理论阵地。在各个方面把无产阶级专政下的继续革命进行到底。

（上接 260 页）

的经验，研究《神灭论》，不仅可以激励我们破除迷信，解放思想，敢于斗争，敢于胜利，而且还能帮助我们进一步认清两条思想路线斗争的长期性和重要性。宗教虽然发端于人类的蒙昧时期，但它的发展和兴盛却完全是反动统治阶级利用的结果。它的根除，不仅在于科学的发展，更取决于阶级的消灭。二十世纪七十年代，距离《神灭论》的问世已经近一千五百年了。可是，苏修叛徒集团竟吹捧“基督教同在社会主义与共产主义原则上改造社会关系的过程的和谐、适应和协调”，在十月革命的故乡大肆推行“共产主义基督教”。林彪也恬不知耻地挥舞“受于天”的黑旗。这一切，都清楚地说明了垂死的反动派，总要用“神权”、“天命”作武器同无产阶级在上层建筑领域进行拼死的较量。包括宗教迷信等在内的旧思想、旧习惯势力也顽强地阻碍着

社会主义新生事物的成长。无产阶级要用马克思主义唯物论最终战胜唯心主义有神论，还要经过长期艰巨的努力和反复激烈的斗争。

列宁早就指出：无产阶级专政的任务之一，就是“要把十八世纪末叶战斗的无神论的文献翻译出来，广泛地传播到人民中去”，“不倦地进行无神论的宣传和斗争”<sup>1)</sup>。我们一定要认真学好无产阶级专政的理论，总结历史的和现实的斗争经验，宣传无神论，批判有神论，在上层建筑其中包括各个文化领域对资产阶级实行全面的专政，在清除剥削阶级拉拢、巩固无产阶级专政的斗争中，把我国建成社会主义的现代化强国！

1) 列宁，《论战斗唯物主义的意义》，《列宁选集》第四卷，人民出版社，(1972)，605。

（上接 306 页）

$\frac{dR_4}{R_4}$ ，大小相等而符号相反，从而使  $d\beta_{(+)} \cong 0$ ，

$d\beta_{(-)} \cong 0$ 。

3. 使  $d\beta_{(+)} \cong d\beta_{(-)}$ ，大小和符号都相同。例如，当元件的品质造成  $\beta_{(+)} \cong 0$  增大，就人为地减小  $R_3$ ，使  $\beta_{(-)} \cong 0$  增大同样数值。

以上诸法都是可行的，而方法 3 是最方便的。例如，取  $R_1 = 200$  欧、 $R_2 = 3600$  欧、 $R_3 = 57.8$  欧、 $R_4 = 35.7$  欧、 $C_1 = 0.047$  微法、 $C_2 = 0.04$  微法，则可证明：若  $\frac{dm}{m} = \frac{dn}{n} = +6\%$ ，而  $R_4$  没有误差；那么，只要把  $R_3$  减至 52 欧，即使  $\frac{dR_3}{R_3} = -10\%$ ，就可实现  $d\beta_{(+)} \cong d\beta_{(-)}$  的互相抵消，而使  $d\beta = 0$ 。实际

上，把  $R_3$  取为  $58 \pm 8$  欧，即  $50 \sim 66$  欧可调，就把问题解决了。因此，大批生产中常令  $R_3$  可变。

## 参 考 文 献

- [1] Wien, M. C., *Ann. d. Physik*, **44** (1891), 681.
- [2] Tarmy, B. L., and Bonilla, C. F., *Prog. in Inter. Res. on Thermodynamic and Transport Properties*, (1962), 404—411.
- [3] 石井博、中山胜矢，《真密度测定》，(1964)。
- [4] Terman, F. E., et al., *P. I. R. E.*, **26** (1938), 226—236.
- [5] Whale, H. A., *Electronics*, **21** (Feb. 1948), 178.
- [6] H. Brown, D. A., *Electronic Engineering*, **25** (1953), 294—298.
- [7] Mehta, V. B., *Electronic Engineering*, **39** (1967), 582—585.